

京都大学工学部 正員 岩田雄一
京都大学工学部 正員 ○木村晃

1. はじめに： 着者らは昨年度の年次學術講演会において、ゼロアップクロス法により定義した不規則波浪の周期の確率特性は、Weibull分布によく従うことと二、三の例をもって示した。その後、著者らが開発した不規則波浪のシミュレーションシステムを利用して、数多くの実験を行い、その周期の確率特性を検討した結果、いづれの場合も Weibull 分布によく従うことわかった。本研究は、これらの実験結果の一部を示すとともに、不規則波浪のスペクトルとその周期の確率特性との関係を明らかにするために行なった二、三の解析結果を示したものである。

2. 実験ならびに解析方法： 実験に用いた水槽は長さ 27m、幅 50cm、深さ 75cm の両面ガラス張り水槽である。この水槽の一端に電気油圧式不規則波発生機が設置しており、他端には消波工を設置して波の反射を防いだ。また、造波板より 5m および 10m の水槽中央に 2 台の波高計を設置し、水位変動を測定した。先に述べたシミュレーションシステムへの入力としては Pierson-Moskowitz スペクトルを選択し、そのピーク周波数を 0.3Hz から 0.7Hz まで 5 通り、水深を 40cm と 50cm の 2 通り変化させて実験を行なった。解析にあたっては、波高計によって得た水位変動を 0.05 sec 間隔で A-D 変換し、計算機を利用してゼロアップクロス法により波の周期を決定した。

3. 実験結果ならびに考察： 図-1 は実験結果のスペクトル形の 1 例を示したものである。各ケースとも若干の凹凸はあるが、実験値は期待スペクトルとほぼ一致していることがわかる。また、図-2 は図-1 にそのスペクトル形を示した不規則波浪の周期の超過確率を Weibull 確率紙にプロットしたものである。図よりわかるように、各ケースはほぼ直線に載っており、実験結果に対する Weibull 分布の適応性は良好である。ここでは示さなかったが、その他の実験結果もほぼ同様の特性を示している。一般に Weibull 分布の確率密度関数 $P(T)$ は、次式で示すことができる。

$$P(T) dT = A m \left(\frac{T}{T_r} \right)^{m-1} \exp \left[-A \left(\frac{T}{T_r} \right)^m \right] \frac{dT}{T_r} \quad (1)$$

ここで、 $A = \left(\frac{m+2}{m} \right)^{m/2}$ 、 T_r は T の root-mean-square である。(1) 式より明らかなように、Weibull 分布の分布形状は、 T_r と m がわかれば決定できるものであり、さらに確率密度 A を T_r で割り正規化すれば、形状母数 m のみで決定できる。この m は実験値をもとに決定されるものであり、ここでは、確率紙上の実験値に対して最小 2 乗法により直線のあてはめを行い、その勾配より m を決定した。これまでの説明でも明らかのように、不規則波浪の周期の確率特性とスペクトルとの関連を明らかにするためには、実験値をもとにして計算した m とスペクトル形との関係を明らかにすればよいことになる。不規則波浪のスペクト

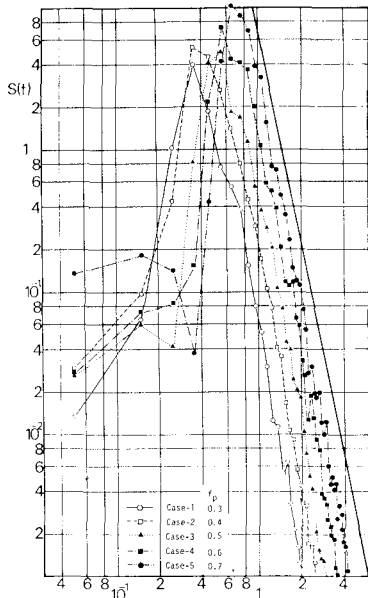


図-1 実験結果のスペクトル形

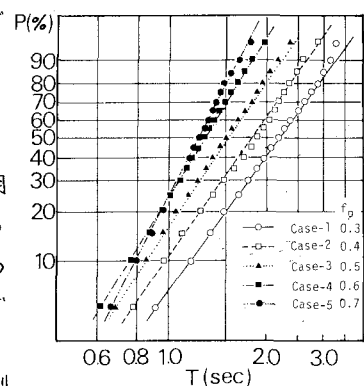


図-2 周期の超過確率

ル形あるいはスペクトル幅に関係するパラメーターとしては、CartwrightとLonguet-Higginsにより提案された ε （スペクトル幅が小さい時には ε に近い値をとり、大きい場合には ε に近づく）が普通よく用いられている。このパラメーターは、次式により定義される。

$$\varepsilon^2 = \frac{m_0 m_4 - m_2^2}{m_0 m_4} \quad (2) \quad \text{ただし, } m_n = \int_0^\infty f^n S(f) df \quad (3)$$

図-3は実験結果をもとに計算した ε との関係を示したものである。図よりわからるように、若干のばらつきはあるが、両者の間に負の相関関係が存在することがうかがわれる。また、この値は0.7から0.8の間に比較的集中しているが、 m の値は2.8より4.2までかなりの幅で変化しており、 m は ε の変化に対して敏感であることが図-3 スペクトル幅と ε との関係わかる。図-4はシミュレーション実験により得た不規則波浪の波高と周期の相関係数 R と ε との関係を示したものである。図より明らかのように、両者の間に若干のばらつきはあるが、図-3よりは明確に負の直線的な相関関係が存在する。著者らが行った他のスペクトルシミュレーション（例えばNeumanスペクトル等）の実験結果からも、これと同じ関係が成立することがわかつている。したがって、スペクトル形より、その周期の確率特性を推定するためには、不規則波浪の波高-周期の相関係数とスペクトル形との関係を明らかにすればよいことがわかる。合田¹⁾の行、下数値シミュレーションの結果によれば相関係数 R と(2)式で示した ε の値との間に明確な関係が存在する。この点に対する検討を行ったものが図-5である。図中には合田の示した R とともに用いる実験曲線もあわせて示した。図より、実験値はかなりのばらつきを示しているが、合田の実験曲線よりかなり小さく、全体的には傾向も若干異なっていることがわかる。これは、後の研究で合田ら²⁾が示した現地波浪の R と ε の関係がなぜこのようなに数値実験と水槽実験もしくは現地波浪とで異なるかという点については、現在の段階ではまだ十分な検討が行われておらず、今後の問題点として残されている。

以上、著者らが行った二、三の解析結果を示してきたが、本研究の範囲内では、最終的に著者らがめざしている不規則波浪の周期の確率特性とスペクトル形との関係を十分に明らかにすることはできなかつた。しかし、この研究により、不規則波浪のスペクトルがPierson-Moskowitzスペクトルで近似でき場合、その周期の確率分布はWeibull分布で十分近似できること、実験値をもとにして決定した、Weibull分布の形状母数 m と波高-周期の相関係数 R との間に明確な直線関係が存在することなどを明らかにすることができた。今後には残された問題点は多いが、その中でも特に、Weibull分布の形状母数 m と密接な関係をもつ波高-周期の相関係数 R が風波の発生、発達、変形あるいは減衰とともにどのように変化するかを明らかにしてやく必要があると考える。

参考文献

- 1). Goda, Y: Rept. Port and Harbour Res. Inst., Vol.9, No.3, pp. 3-57, 1970.
- 2). 合田・永井: 潟湾技術研究所報告, 第13巻, 第1号, pp. 1-37, 1974.

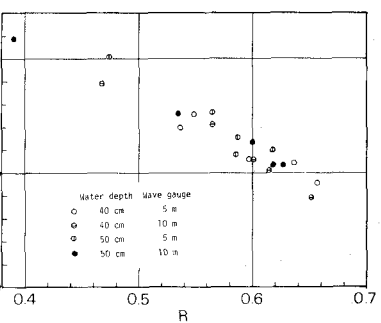
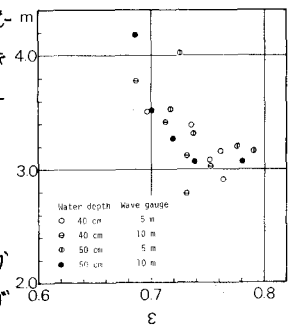


図-4 波高と周期の相関係数 R との関係

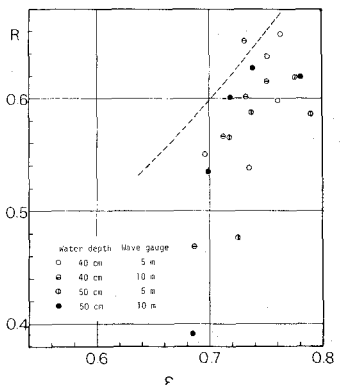


図-5 ε と R の関係